

دراسة سرعة انتشار اللهب الطباقى المستقر لخلط (غاز البترول المسال العراقي - الهواء) باستخدام المحرق المربع

أ.م.د. محمد ناصر حميد الفتال* ، م.م. جاسم محمد عبد الكريم الجاف* و فارس عامر حاتم*

تاريخ التسلم: ٢٠٠٤/٤/٢١

تاريخ القبول: ٢٠٠٥/١٠/٢٧

الخلاصة

تم قياس سرعة انتشار اللهب الطباقى (*Laminar burning velocity*) لخلط (غاز البترول المسال العراقي - الهواء) باستخدام المحرق المربع بطريقة تصوير منطقة شليرن واستخدام تقنية المساحة ولمدى من النسب المكافئة (0.883-1.233). لغرض الحصول على جبهة اللهب مستقرة وذات اوجه مسطحة تم تصنيع المحرق المربع الذي يعطي جبهة اللهب ثانية بعد ذلك تم تصميم شفة المحرق مع مaskaة جبهة اللهب بحيث يقل تأثير دينامية هواء شفة المحرق وتعطى استقرارية لجبهة اللهب . تم الحصول على صور شليرن بتبالين عالي باستخدام نوع واحد من المستوى القاطع.

تم حساب سمت جبهة اللهب الطباقى ومسافة الاخماد باستخدام المفاهيم الابعدية وباستعمال قيم متغيرة لرقم بكلت (*Peclet Number*) والماخوذة من البحوث السابقة . كذلك تم عمليا تحديد حدود الاستقرارية المتمثلة بحدى بالوميض الخلفي والانفصال للخلط (غاز البترول المسال العراقي-الهواء) .

اما ابعاد جبهة اللهب الحقيقية فقد تم استخراجها من صور شليرن باستعمال البرنامج الجاهز (*Adobe Photoshop Ver 6*) حيث تتوفر فيها عدة دقة لقياس الابعاد ومعالجة الصور .

تمت مقارنة النتائج المستحصلة مع البحوث المنتشرة وظهر توافق كبير بينها وبالملحق (A) يبين خلاصة النتائج لهذا البحث.

Abstract

Laminar burning velocity for (L.P.G-Air) premixed mixture was measured by using square burner and the technique of area method with range of equivalent ratio (0.883-1.233).

To obtain a stable flame front with flat faces a square burner was designed and manufactured which give two dimensional flame front the burner, rim was designed with flame holder to reduce the effect of burner rim aerodynamic, the flame photography has been obtained with high resolution by using Schieren photography .

The flame thickness and the quenching distance were calculated depending on the dimensionless aspects using variable values of (pecelt number)from the later researches.and the stability limits which described by flash back and blow off was determined experimentally

The actual dimensions of the flame structure were obtained from schlieren photography using the computer program (Adobe photoshop ver.6) with supply an accurate tool for dimension measurements and photography treatment.

The result of the present work showed a good agreement with those previously published , the result of this work given in appendix (A).

المقدمة
المنتظمه المستوية لايمكן ملاحظتها الا في ظروف خاصة جدا ،حيث ان جبهة اللهب في اغلب الحالات العملية تكون اما منحنية او انها غير عمودية على اتجاه سرعة جريان الخليط غير المحترق خصوصا عند قمة جبهة اللهب وقادتها [6] تفاص سرعة انتشار اللهب اما بطريقة اللهب المستقر او بطريقة

تعرف سرعة انتشار اللهب الطباقى على انها السرعة التي تتحرك بها جبهة اللهب المستوية بشكل عمودي على سطحها باتجاه الخليط غير المحترق ولا توجد طريقة يمكن عدها قياسية ودقيقة لمعرفة سرعة انتشار اللهب [8] وان جبهة اللهب

المساحة وبالتالي سرعة انتشار اللهب وبقية
الخواص.

تم تصميم المحرق بالاعتماد على المخطط
الموضح في الشكل (1) والذي يعطي أفضل منطقة
لتشغيل المحرق والتي تقع ضمن حدود القطر
الهيدروليكي (5-16mm) مع سرعة جريان الخليط
غير المحترق التي تتراوح ما بين (90-200
cm/s) وبالاعتماد على مفاهيم استقرارية اللهب
الواردة من قبل [3,8,10] حيث تم الحصول على
جهة اللهب مستقرة على شفة المحرق وقيم عدد
رينولدز تتراوح ما بين (1700-700) وابعاد
المحرق (11*11mm).

للغرض تلافي الاستدارة في جوانب وقمة اللهب
والحصول على اسطح دقيقة لجهة اللهب وكذلك
التخلص من ظاهرة الوميض الخلفي التي تقلل من
النسبة المكافئة لعمل المحرق فقد تم استخدام ماسكة
جهة اللهب، وكذلك تم عزل المحرق عن المحيط
الخارجي باستخدام غلاف عزل (Perspex)
المستخدم من قبل الباحث [17].

ان طول انبوب المحرق له دور كبير في تشغيل
المحرق لأنه لو كان اقصر من الطول المطلوب
سوف يحصل اضطراب لجهة اللهب،اما اذا كان
اطول فسوف يحدث خسائر في الجريان [6].ان
الباحثين استخدمو اطوالا مختلفة حيث اعتمد
بعضهم على طول المدخل الذي يساوي (0.065*)
 (Re^*D_i) [4] اما البعض الآخر فقد اعتمد على
طول الاقتراب الذي يعتبر نصف طول المدخل [5].
تم الاعتماد في اختيار طول المحرق على طول
المدخل والذي يحقق جريان طباقي متكملا النمو
(950-550 mm) ولعدد رينولدز بحدود (-1700
. 700).

الحسابات النظرية

تم حساب سرعة انتشار اللهب بالاعتماد على
ابعاد جهة اللهب الماخوذة من صور شيلين
المسلحة باستخدام تقنية المساحة،استخدمت طريقة
المساحة لأول مرة من قبل الباحث (Gouy) [6]
بالاعتماد على تعريف سرعة انتشار اللهب (هي
مركبة سرعة الغازات غير المحترقة العمودية على
سطح موجة الاحتراق) ومعادلة حفظ الكتلة وكما
يلي:

$$m = \rho_u * S_u * A_i \quad (1)$$

وفرض الجريان مستقر اي بقاء خطوط السريان
لخلط متوازية حتى بلوغها السطح المرجعي لذلك

اللهب غير المستقر وكل طريقة محدّداتها في
طريقة اللهب المستقر فان سرعة انتشار اللهب
لاتكون منتظمة على مجمل سطح جبهة اللهب ،اما
في حالة اللهب غير المستقر فان حركة الغازات
الناجمة عن الاحتراق سوف تؤدي الى تكون شكل
معد لجهة اللهب .ان افضل وسيلة يمكن الحصول
من خلالها على جبهة اللهب مستقر هي المحرق [3]
،استخدم طريقة المحرق عدد كبير من الباحثين
[13,15,17,18].

ان استخدام المحرق لقياس سرعة انتشار اللهب
بطريقة المساحة يعتمد على الشكل الهندسي لجهة
اللهب ففي حالة المحرق الدائري تكون هناك نسبة
خطاء بسبب الانحناء سطح المخروط لذلك قان
التطورات تحت باستخدام المحرق المستطيل او
المحرق ذي الشق كونه يعطي جبهة اللهب ذات شكل
محدد ويكون قياس المساحة في هذه الحالة ادق
[17] لكن جبهة اللهب لهذه المحرائق تكون ثلاثة
الابعاد، وهذا يتطلب ان يتم تصوير اللهب من جانبين
اما المحرق المربع فيمتاز عن المحرق الدائري
بكون جبهة اللهب مستوية وبدون انحناء وكذلك
يمتاز عن المحرائق المستطيلة او المحرق ذي الشق
بأنه ثالثي البعد ويتم تصوير جانب واحد من اللهب
لمعرفة المساحة الكلية بسبب التأثر في جبهة
اللهب.

تعتبر طريقة تصويرشلين اهم تقنية لقياس
المساحة السطحية لجهة اللهب ومنها يمكن حساب
سرعة انتشار اللهب وبقية الخواص لانها تعتبر
السطح المرجعي لدرجة حرارة الاشتعال (Ignition
Temperature) [8] كما انها تكون عند درجة
حرارة منخفضة لا يكون عندها التمدد الحراري
لخطوط السريان كبيرا [6].

من الصعوبات التي ترافق عملية قياس سرعة
انتشار اللهب باستخدام المحرق المربع هي صعوبة
الحصول على جبهة اللهب مسطحة بشكل كامل وميل
جهة اللهب الى الانحناء عند القمة لذلك لم يتم
استخدام المحرق المربع في بحوث الاحتراق حيث
استخدمه الباحث [4] لدراسة حدود الاستقرارية اما
الباحث [12] فقد استخدمه لقياس ارتفاع جبهة
اللهب.

تصميم المحرق المربع

ان المحرق المربع يجب ان يصمم بحيث يعطي
جهة اللهب على شكل هرم رباعي منتظم وان تكون
مسطحة الجوانب وكما في الشكل (4) وهذا يتطلب
تصميم دقيق جدا لفوهة المحرق لأن اي استدارة
بسیطة في الزوايا يؤدي الى خطاء كبير في قياس

$$f = \frac{125.8}{(\text{Re})^{24}} \quad (7)$$

حيث تحدد المعادلة (6) بحدود الاستقرارية لجريان طباقي متكامل النمو وبالاعتماد على سرعة جريان الغازات الغير المحترقة يمكن حساب الوبيض الخليفي (ρ_w) والانفصالي (ρ_a) ويتم تحديد النسبة المكافأة التي تحصل عندها الظاهرتان .

اما مسافة الاخماد (التي تعرف على انها اقل مسافة بين لوحين متوازيين يحصل عندها اخماد اللهب ولا يحصل وميض خلفي [3]) فقد تم حسابها باستخدام المعادلة (8) ولقيم عدد بكلت (40,50,55,60)

$$P_{eq} = \frac{\rho_w * Cp * S_w}{\lambda} * D_q \quad (8)$$

النتائج والمناقشة

تم في هذا البحث قياس سرعة انتشار اللهب لخلط (غاز البترول المسال العراقي - الهواء) المسيق الخلط وللمدى من النسب المكافأة (0.883-0.883-1.233) وباستخدام المحرق المربع وبطريقة تصوير شلرين مع تقنية المساحة ، والشكل (6) يوضح العلاقة بين تغير سرعة انتشار اللهب مع النسبة المكافأة حيث يلاحظ ان سرعة انتشار اللهب تزداد بازدياد النسبة المكافأة في الجانب الفقير من الخليط (Lean Side) الى ان تصل الى اعظم قيمة لها عند النسبة المكافأة (1.038) بعد ذلك تبداء بالانخفاض مع زيادة النسبة المكافأة في الجانب الغني للخلط (Rich side) ، ان سبب هذا يعود الى زيادة درجة حرارة اللهب والذي يؤدي بدوره الى زيادة معدل التفاعل الكيميائي الذي يؤدي الى زيادة سرعة انتشار اللهب يمكن ملاحظة توافق النتائج المستخلصة مع النتائج المنشورة وكما مبين في الشكل (7) وهذا يدل على نجاح اسلوب المحرق المربع وامكانية استخدامه في بحوث الاحتراق لقياس خصائص انتشار اللهب لانه يعطي جبهة اللهب مجسمة ثنائية البعد وخالية من التشوه .

من الشكل (8) يمكن ملاحظة ان سمك جبهة اللهب يقل مع زيادة النسبة المكافأة في الجانب الفقير من الخليط ليصل الى اقل قيمة له عند نسبة اعلى قليلا من نسبة الخلط الكيميائي الصحيح والسبب في ذلك يعود الى زيادة معدل التفاعل الكيميائي نتيجة لزيادة درجة حرارة اللهب مع النسبة المكافأة في الجانب الفقير من الخليط(Lean side) بينما يقل معدل التفاعل في الجانب الغني .

يمكن اعتبار ($\rho_h = \rho_w$) [10] حيث تصبح المعادلة (1).

$$S_w = \frac{U * A_w}{A_f} = \frac{\dot{V}_w}{A_f} \quad (2)$$

ان مساحة جبهة اللهب للمحرق المربع تكون من هرم رباعي كامل منتظم وكما في الشكل (4)

$$A_f = 2 * (X * Y) \quad (3)$$

ويعويض المعادلة (3) في المعادلة (2) لتصبح المعادلة بالشكل التالي:

$$S_w = \frac{\dot{V}_w}{2 * (X * Y)} \quad (4)$$

ان استخدام مaskaة جبهة اللهب يساعد في جعل جبهة اللهب مسطحة وان يكون الانحناء في قمة جبهة اللهب اقل من سمك جبهة اللهب ، تم الحصول على صورة شلرين لجبهة اللهب للمحرق المربع باستخدام مستوى قاطع على شكل سلك رفيع بقطر (0.25mm) ويوضع بشكل عمودي والشكل (5) يوضح صور شلرين للمحرق المربع .

لفرض حساب سمك جبهة اللهب تم استخدام المعادلة التالية التي تفترض ان سمك جبهة اللهب تساوي ضعف السمك المعيار [1]

$$\delta = \frac{2 * \lambda}{\rho_w * Cp * S_w} \quad (5)$$

لفرض حساب الخواص الانتقالية المتمثلة بحساب الموصولة الحرارية لنوافذ الاحتراق (λ) والحرارة النوعية بشروط الضغط (Cp) حيث تم استخدام برنامج حسابي بلغة فورتران تم صياغته من قبل الباحث .

يعتبر حدي الوبيض الخليفي والانفصالي من الحدود المهمة التي يستند عليها في قياس استقرارية جبهة اللهب ، وتم حسابهما عملياً بالاعتماد على نظرية الحد العرج لأنحدار السرعة المتاخم [3] وحسب المعادلة الآتية:

$$g = \frac{f * \dot{V}_w * Re}{2 * \pi * D_i^3} \quad (6)$$

المصادر

1. Andrews, G.e and Bradley, D "combustion and flame" 18:133 (1972-a).
2. Assael J.M., Trusler, J.P.M. and Tsolakis, F.T., "Thermophysical properties of fluids". Imperial College Press, (1988).
3. Barnard ,J.A. and Bradley,J.N., "Flame and combustion",2 nd ed Chapman and Hill Inc., (1985).
4. Bonilla, R.H and Maccallum, R.L., "Combustion and Flame" 12:492 (1968).
5. Boukhalfa, A. and Gokalp,I. " Combustion and Flame" 73:75 (1988).
6. Gydon, A.G and Wolfard.H.F.,J, "Flames", London,3rd ed.(1970).
7. Kanury,A.M, "Introduction to combustion phenomena", Gordon and Breach publishers, inc., (1975).
8. Kuo, K. K, "Principle of combustion", John Wiley and sons. Inc. (1986).
9. Liu, D.D.S., and Macfarlan, "Combustion and Flame",49:59 (1983).
10. Lewis, B, and Von-Elbe, G, "Combustion Flame and explosion of gases" 2nd., Academic Press, New York (1987).
11. Reed, S.B, " Combustion and Flame" , 13:583 (1969).
12. Roper, F.G. "Combustion and Flame", 29,219-226 (1977)
١٣. احمد [Ahmed] علي نجيب، دراسة انتشار اللهب الطباقي بتصوير منطقة شليرن للهرب محاط بغاز النيتروجين، رسالة ماجستير مقدمة إلى قسم هندسة المكائن والمعدات/جامعة التكنولوجية (2003)
١٤. أركان [Arkan] فوزي سعيد، تأثير درجة الحرارة الابتدائية على سرعة انتشار اللهب خلال أنبوب لخلط (الميثان - البروبان - غاز البترول المسال العراقي)

اما الشكل (9) فانه يمثل تغير مسافة الاخماد مع النسبة المكافئة وقيم رقم رقم بكلت (40,50,55,60) حيث يلاحظ ان مسافة الاخماد تقل مع زيادة النسبة المكافئة في الجانب القريب من الخلط تصل الى اقل قيمة لها عند نسبة اعلى قليلا من نسبة الخلط الكيميائي الصحيح ثم تزداد مع النسبة المكافئة في الجانب الغني من الخلط والسبب في ذلك يعود الى التناوب العكسي لمسافة الاخماد مع سرعة انتشار اللهب ومعدل التفاعل.

الشكل (10) يبين حدود الاستقرارية للمحرق المربع حيث يمثل المنحني السفلي ظاهرة الوميض الخلفي والمنحني العلوي ظاهرة الانفصال والمنطقة الواقعه بينهما تمثل المنطقة المستقرة اما الشكل (11) فانه يبين مقارنة بين حدود الاستقرارية للمحرق الدائري حيث يلاحظ ان قيم حدود الانفصال تكون في حالة المحرق المربع اعلى منها في حالة المحرق الدائري كما في الشكل (a) وكذلك تكون قيم الوميض الخلفي للمحرق المربع اعلى منها في المحرق الدائري كما في الشكل (b) والسبب في ذلك يعود الشكل المميز لجيئه اللهب في حالة المحرق المربع الذي يجعل منها اقل استقرارية على شفة المحرق وهذا يجعل المنطقة المستقرة لعمل المحرق المربع اقل منها في حالة المحرق الدائري.

الاستنتاجات

١. يمكن الحصول على جيئه لهب مجسمة ثلاثة بعد بتصوير جانب واحد من اللهب باستخدام المحرق المربع الذي يعطي جيئه لهب على شكل هرم رباعي كامل.
٢. قيم انحدار السرعة المتاخم في حالة الوميض الخلفي والانفصال في المحرق المربع اعلى منها في حالة المحرق الدائري .

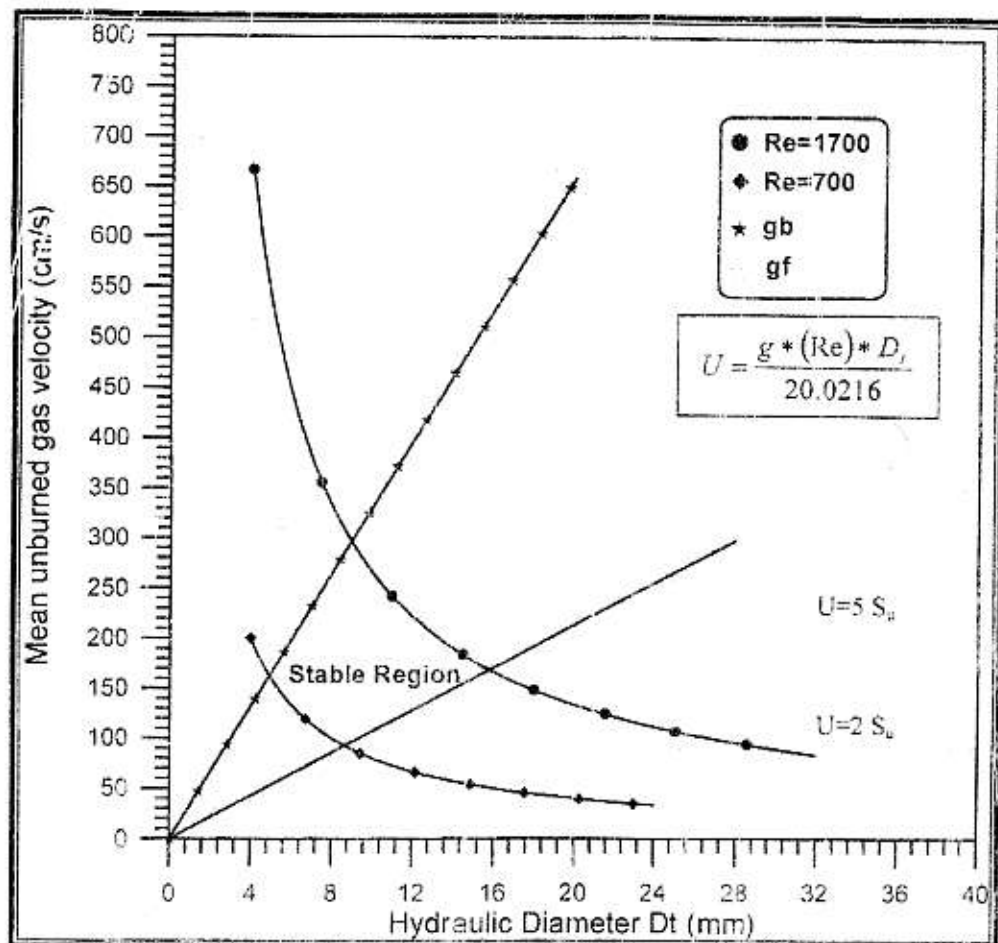
التوصيات

١. استعمال تقنية نشر الجزيئات في حساب سرعة انتشار اللهب في المحرق المربع ومقارنتها مع طريقة المساحة.
٢. استعمال المحرق المربع لغرض دراسة خصائص اللهب الطباقي لانواع اخرى من الوقود الپیدروکربونی.
٣. استعمال کاميرا نوع (CCD) بدلا من الكاميرا الاعتيادية لغرض تصوير جيئه اللهب.

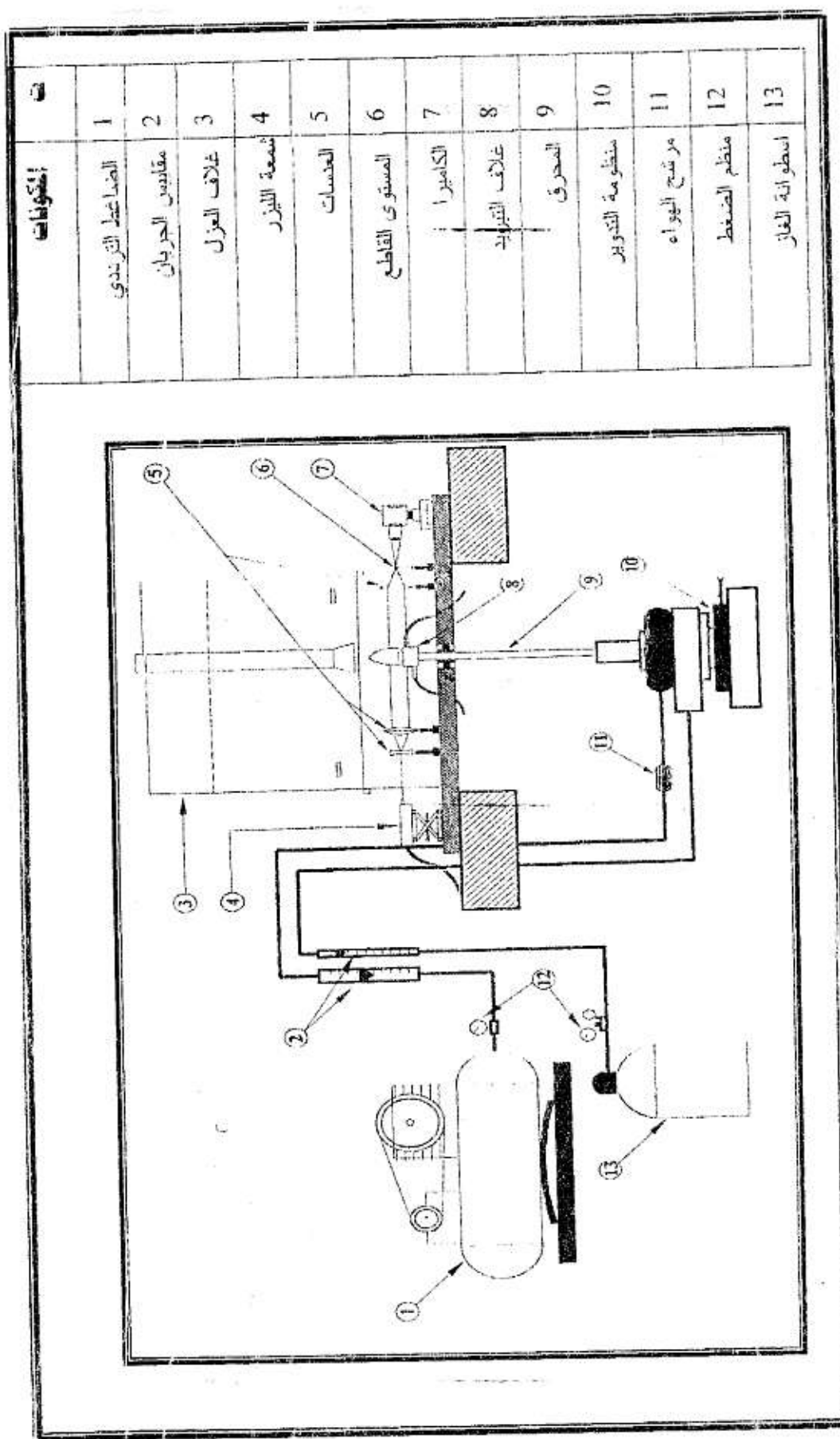
١٧. جاسم [Jassem] محمد عبد الكريم، استخدام تقنية شليرن في دراسة انتشار اللهب الطباقي لمحرق ذي الشق، رسالة ماجستير مقدمة الى قسم هندسة المكائن والمعدات /جامعة التكنولوجية، (2002).
١٨. على [Ali] رسول مهدي ، استخدام طريقة تصوير شليرن في دراسة اللهب لخلط الوقود الغازي مع الهواء ، رسالة ماجستير مقدمة الى قسم هندسة المكائن والمعدات /جامعة التكنولوجية،(2000).
١٩. حسنين [Hassnein] عذان البدر، تأثير درجة الحرارة الابتدائية على خصائص اللهب الطباقي في المحرق الأنبوبي (خلط الوقود الغازي والهواء)، رسالة ماجستير مقدمة إلى قسم هندسة المكائن والمعدات /جامعة التكنولوجية،(2001)
٢٠. حيدر [Haider] عبد ضبه، دراسة سرعة انتشار اللهب مسبق الخلط خلال أنبوب باستعمال الخلايا الضوئية ، رسالة ماجستير مقدمة إلى قسم هندسة المكائن والمعدات /جامعة التكنولوجية،(1997).

قائمة الرموز

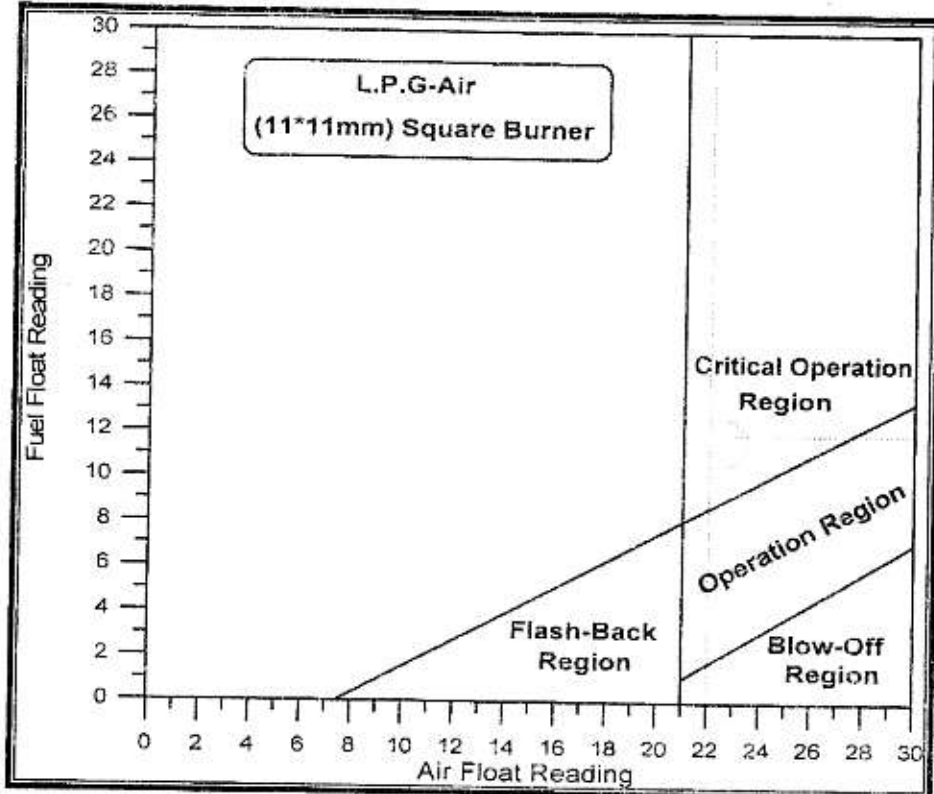
الوحدة	المعنى	الرمز
kg/s	معدل الجريان الكثي لخلط غير المحترق	m
Kg/m ³	كتافة الخليط غير المحترق	ρ_u
kg/m ³	الكتافة الماسة عند السطح المرجعي	ρ_b
cm/s	سرعة جريان الخليط غير المحترق	U
cm/s	سرعة انتشار اللهب	S_u
m ²	مساحة مقطع المحرق	A_0
m ²	مساحة جبهة اللهب	A_f
cm ³ /s	المعدل الحجمي لجريان الخليط غير المحترق	V_u
mm	عرض قاعدة الهرم	X
mm	الارتفاع المائل للهرم	Y
-	النسبة المكافئة	Φ
mm	سمك اللهب الطباقي	δ
mm	مسافة الإخماد	D_0
-	عدد بكلت	P_{eq}
-	عدد رينولد	Re
-	معامل الاحتراك	f
mm	القطر الهيدروليكي	D_i
1/s	انحدار السرعة المتاخم	g
1/s	انحدار السرعة المتاخم في حالة الانفصال	g_b
1/s	انحدار السرعة المتاخم في حالة الوميض الخلفي	g_f
W/m K	الموصلية الحرارية لنواتج الاحتراق	λ
J/kg K	الحرارة النوعية بثبوت الضغط	C_p
N/m ²	الضغط الجوي	Pu
K	درجة الحرارة الابتدائية	Tu



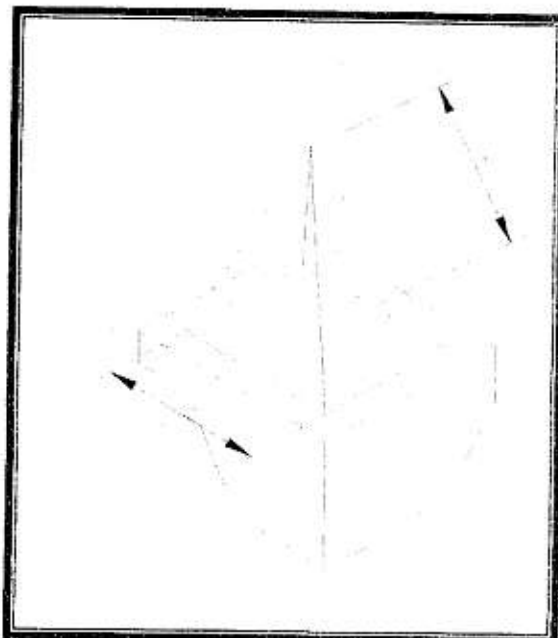
الشكل (1) المخطط التصعيمي للمحرق المربع [3]



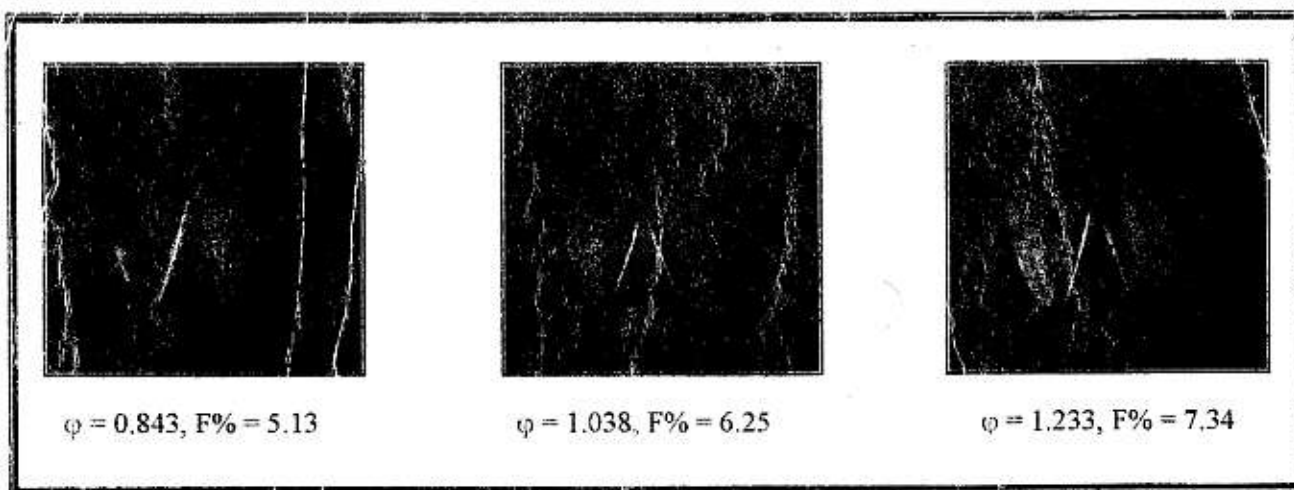
الشكل (٢) مخطط عام لمكونات الجهاز المستخدم



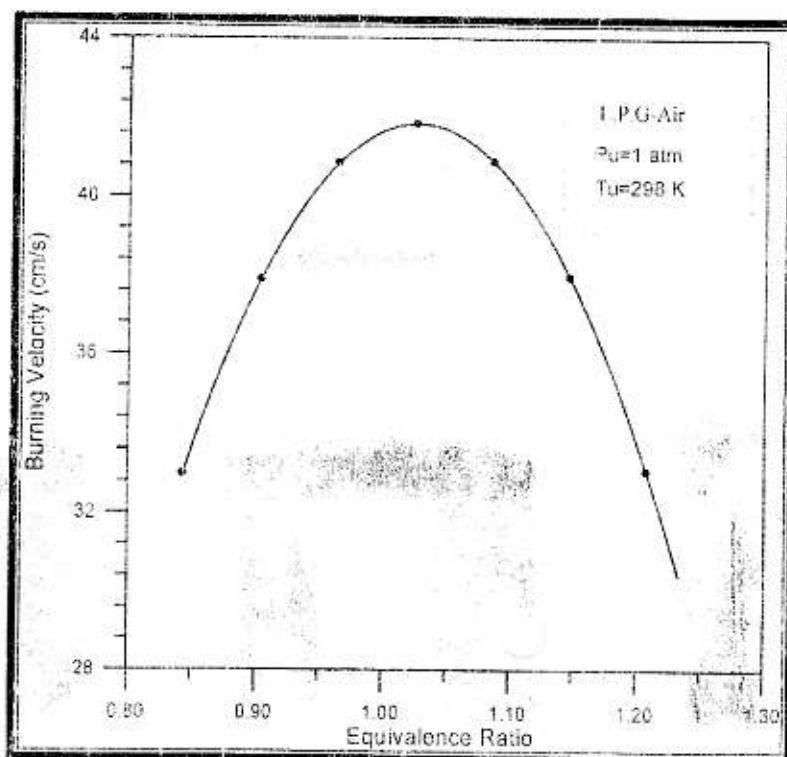
الشكل (3) اسلوب تجهيز الخليط (غاز البترول المسال العراقي-الهواء)



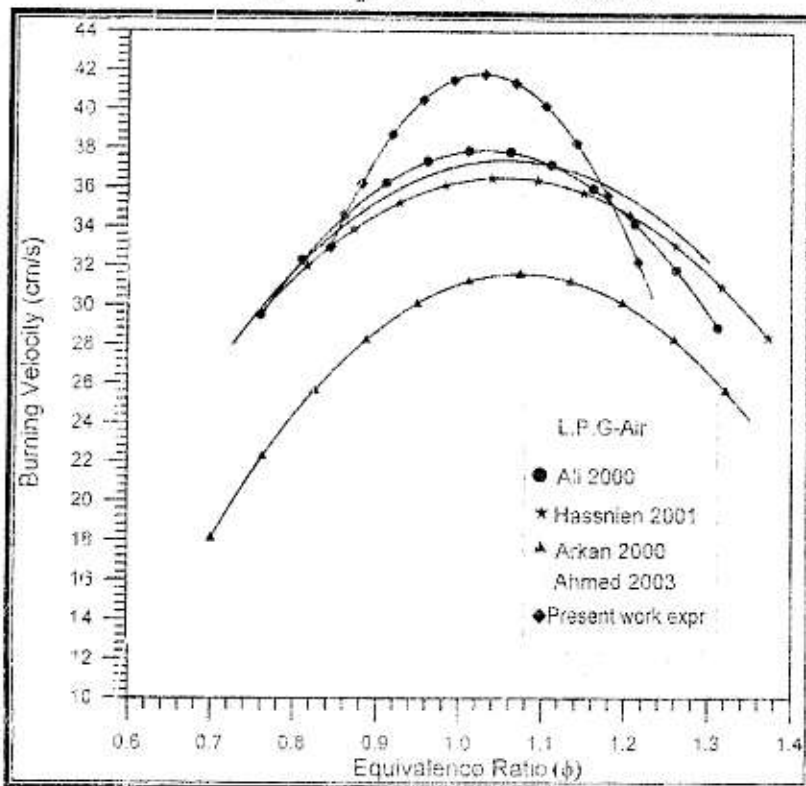
الشكل (4) الوصف الهندسي لجبهة اللهب للمحرق المربع



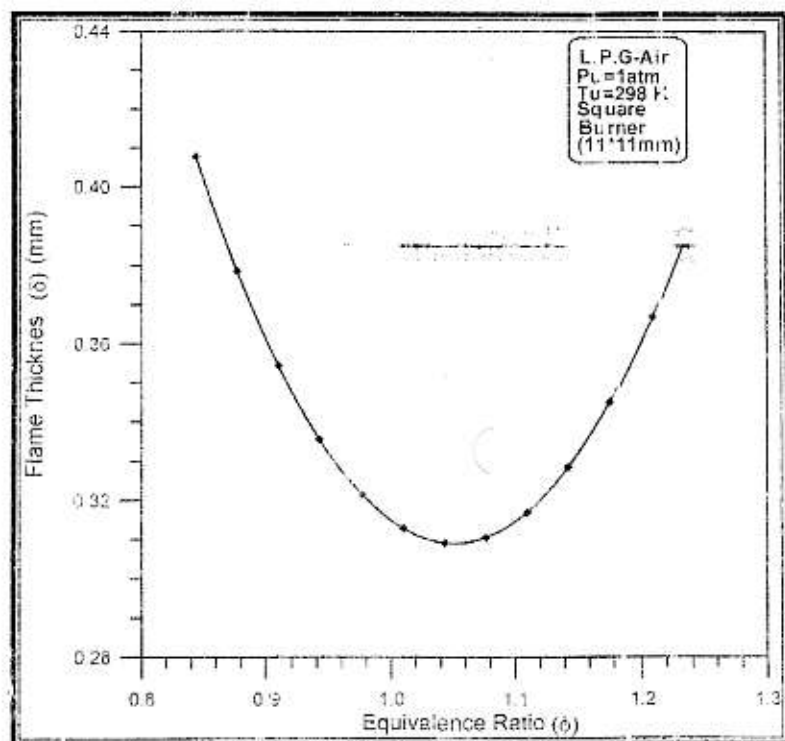
الشكل (5) نماذج من صور شليرن للهب مسطح الجوانب بالمحرق المربع



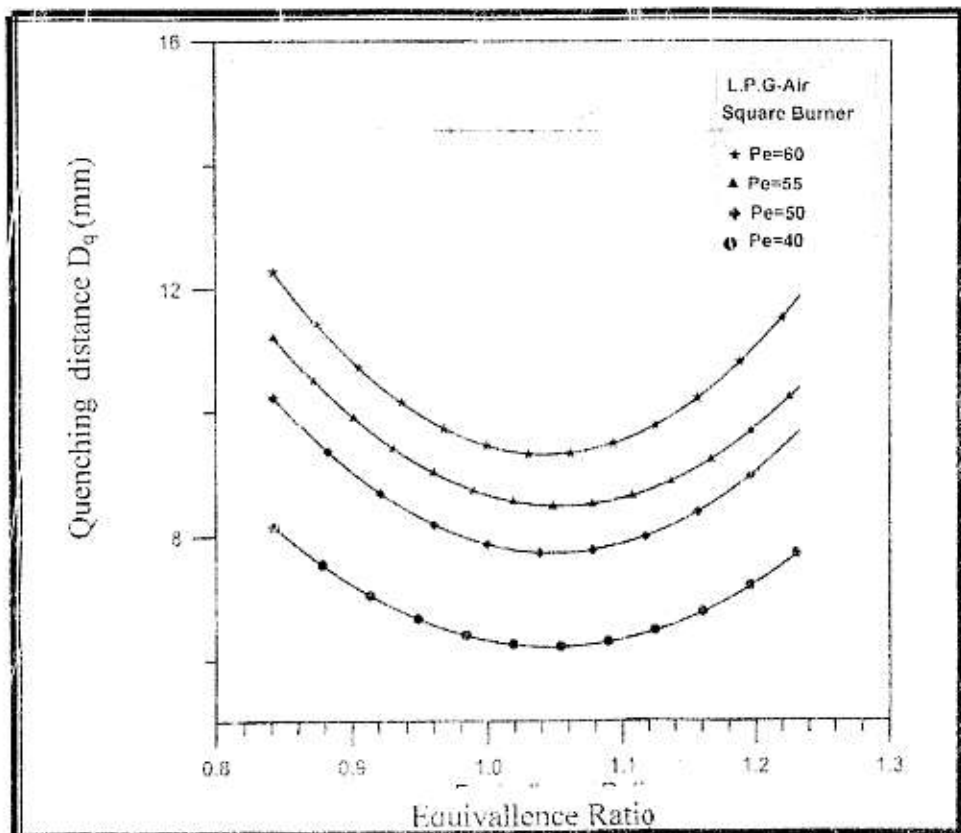
الشكل (6) يوضح العلاقة بين النسبة المكافئة وسرعة انتشار النهب لخلط غاز
البترول المسال العراقي - الهواء



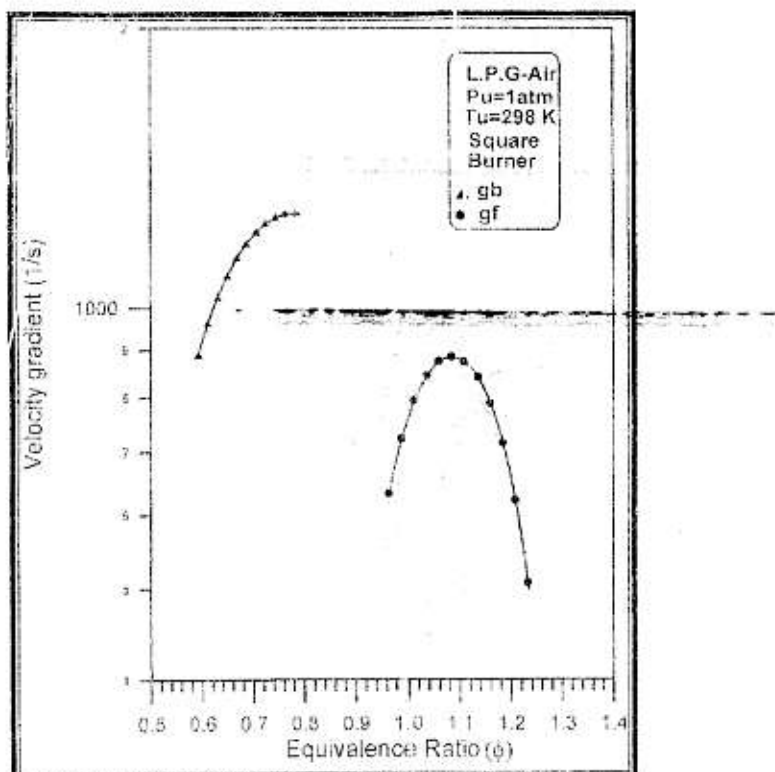
الشكل (7) مقارنة نتائج سرعة انتشار النهب مع البحوث المنشورة



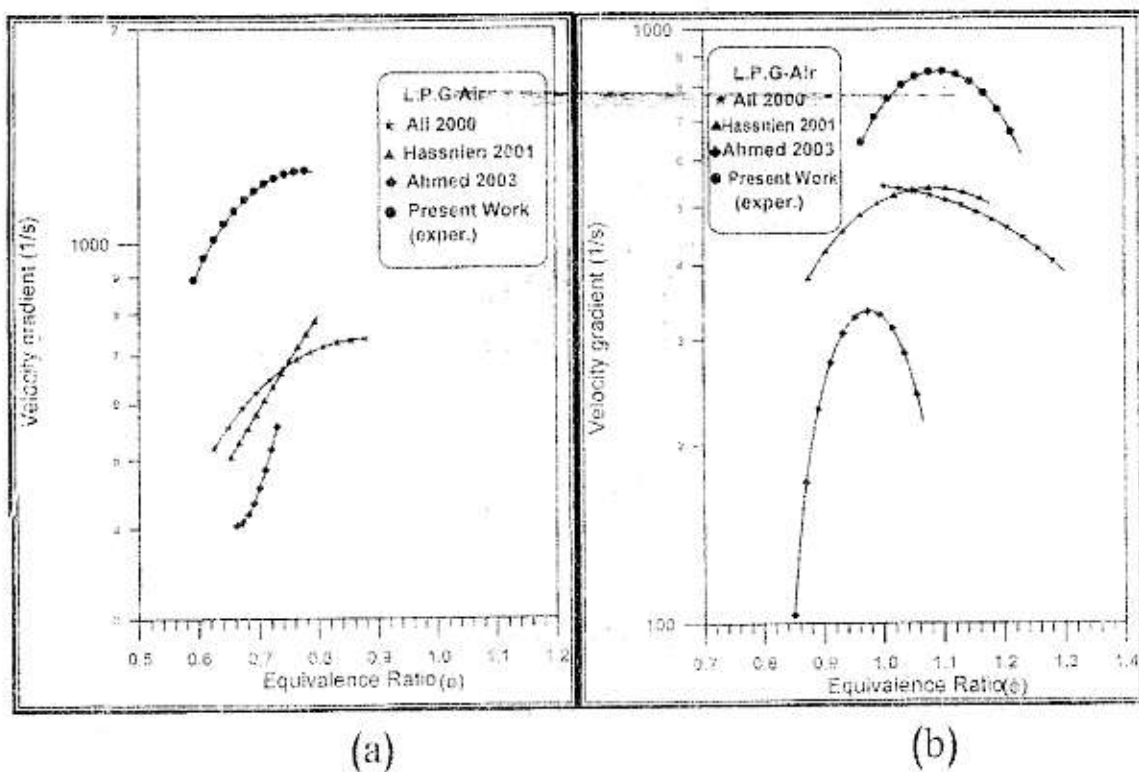
الشكل (8) يوضح العلاقة بين النسبة المكافئة وسمك جبهة الهب



الشكل (9) يوضح تغير مسافة الاخماد مع النسبة المكافئة



الشكل (10) حدود الاستقرارية للمحرق المربع



الشكل (11) مقارنة نتائج حدود الاستقرارية للمحرق المربع مع المحرق الدائري

الملحق (A) يبيّن خلاصة نتائج البحث

Φ	$S_u(\text{cm/s})$	$\delta_{(\text{mm})}$	$D_q(\text{mm})$			
			40	50	55	60
0.843	35.251	0.402	8.05	10.08	11.06	12.11
0.908	38.654	0.364	7.28	9.1	10.01	10.92
0.973	42.359	0.326	6.51	8.19	8.96	9.8
1.038	44.56	0.05	6.09	7.63	8.4	9.17
1.103	42.62	0.313	6.23	7.84	8.61	9.38
1.168	39.415	0339	7	8.4	9.1	10.5
1.233	34.26	0.388	7.7	9.8	10.5	11.9